

О ФИЗИЧЕСКОМ СМЫСЛЕ ФАЗЫ ПОДОБИЯ ДЕВИАТОРОВ И ВОЗМОЖНОСТИ ЕЕ ОПРЕДЕЛЕНИЯ ПО РЕЗУЛЬТАТАМ ИСПЫТАНИЙ ПРИ ПРОСТЫХ НАПРЯЖЕННЫХ СОСТОЯНИЯХ

Проведен анализ соотношений для фазы подобия девиаторов и разницы параметров Лоде. Показана взаимосвязь этих величин и возможность представления их в виде отношения смешанных инвариантов, имеющих размерность работы напряжений на деформациях, что дает им новую интерпретацию. Предложена методика определения этих величин и нелинейных сдвиговых характеристик. Проведены исследования их зависимости от напряженного состояния для различных конструкционных материалов.

Фаза подобия девиаторов $\omega = \theta - \nu$ предложена В.В. Новожиловым [1] в качестве обобщенной характеристики упругости в тензорно-нелинейных уравнениях связи компонент девиатора деформаций с компонентами девиатора напряжений, которые можно представить в виде

$$e_{ij} = \Phi_m S_{ij}/2 + \Phi_d (S_{i\alpha} S_{\alpha j} - 2/9 S_0^2 \delta_{ij})/S_0, \quad (1)$$

где $S_{ij} = \sigma_{ij} - \sigma_0 \delta_{ij}$; $\sigma_0 = 1/3 \sigma_{ii}$; $S_0 = (3/2 S_{ij} S_{ij})$; $\sigma_1 \geq \sigma_2 \geq \sigma_3$; $e_{ij} = \varepsilon_{ij} - \varepsilon_0 \delta_{ij}$; $\varepsilon_0 = 1/3 \varepsilon_{ii}$; $e_0 = (2/3 e_{ij} e_{ij})$; $i, j, \alpha = 1, 2, 3$.

В уравнениях (1) σ_{ij} , S_{ij} — соответственно тензор и девиатор напряжений; σ_0 — среднее напряжение; S_0 — интенсивность напряжений; ε_{ij} , e_{ij} — тензор и девиатор малых деформаций; ε_0 — средняя деформация; e_0 — интенсивность деформаций; ν — угол вида деформированного, а θ — напряженного состояния, определяемый соотношением

$$\theta = 1/3 \arccos[9 S_{ij} S_{j\alpha} S_{\alpha i} / (2 S_0^3)], \quad 0 \leq \theta \leq \pi/3. \quad (2)$$

Сдвиговые характеристики Φ_m и Φ_d выражаются формулами [2]

$$\Phi_m = 3e_0 (\cos \omega - \sin \omega \cos 3\theta / \sin 3\theta) / S_0; \quad (3)$$

$$\Phi_d = 9e_0 \sin \omega / (2 S_0 \sin 3\theta), \quad (4)$$

из которых вытекает соотношение для фазы подобия девиаторов [3]

$$\operatorname{tg} \omega = 2 \Phi_d \sin 3\theta / (3 \Phi_m + 2 \Phi_d \cos 3\theta). \quad (5)$$

Другое представление сдвиговых характеристик, предложенное в работе [4],

$$\Phi_m = (B_1 + B_2 + B_3)/3; \quad (6)$$

$$\Phi_d = \{[(B_1 - B_2)^2 + (B_2 - B_3)^2 + (B_3 - B_1)^2]/8\}^{1/2} \quad (7)$$

более удобно для анализа результатов экспериментов. В выражениях (6) и (7) величины

$$B_i = \gamma_i / \tau_i \quad (8)$$

представляют собой податливости сдвигу, где

$$\gamma_i = \varepsilon_j - \varepsilon_\alpha, \quad \tau_i = (\sigma_j - \sigma_\alpha) / 2$$

— главные деформации сдвига и главные касательные напряжения соответственно; $\sigma_i = S_0 C_i / 3 + \sigma_0$ — главные напряжения; $i, j, \alpha = 1, 2, 3$; $i \neq j \neq \alpha$; $C_1 = 2 \cos \theta$; $C_2 = \sqrt{3} \sin \theta - \cos \theta$; $C_3 = -(\sqrt{3} \sin \theta + \cos \theta)$.

С использованием определения e_0 и уравнений (1) устанавливается зависимость между интенсивностью деформаций и интенсивностью напряжений:

$$e_0 = \Phi_\theta S_0 / 3, \quad (9)$$

где

$$\Phi_\theta = (\Phi_m^2 + 4/3 \Phi_m \Phi_d \cos 3\theta + 4/9 \Phi_d^2)^{1/2} \quad (10)$$

— податливость формоизменению при любом θ .

В. Лоде для анализа полученных им результатов экспериментальных исследований ввел в рассмотрение параметры [5]

$$\lambda_\sigma = -2\tau_1 / \tau_2 - 1; \quad (11)$$

$$\lambda_\varepsilon = -2\gamma_1 / \gamma_2 - 1, \quad (12)$$

представляющие виды напряженного и деформированного состояний. Разницу этих параметров можно записать как

$$\Delta\lambda = \lambda_\sigma - \lambda_\varepsilon = (\tau_1 |\gamma_2| - |\tau_2| \gamma_1) / (\tau_2 \gamma_2 / 2). \quad (13)$$

Для материалов, деформация которых подчиняется линейно-упругому закону, числитель этого соотношения, согласно принципу взаимности работ [6], равен нулю, а знаменатель — работе максимального касательного напряжения на соответствующей деформации.

При нелинейном поведении [2] разница параметров $\Delta\lambda > 0$ для всех напряженных состояний, кроме обобщенного растяжения и соответствующего сжатия, где она принимает нулевое значение. Следовательно, в общем случае числитель в соотношении (13) не равен нулю. Его значение можно рассматривать как работу касательных напряжений на взаимных деформациях, поскольку нелинейная деформация идет с отклонением от принципа взаимности работ.

Это позволяет представить рассматриваемый показатель как отношение смешанных инвариантов, имеющих размерность работы напряжений на деформациях

$$\Delta\lambda = \Delta A/A_\tau. \quad (14)$$

Термин “работа” относится к той ее части, которую можно определить как площадь под секущим модулем сдвига в зависимостях $\tau_i - \gamma_i$. Он принят здесь лишь для удобства интерпретации полученного результата.

Пользуясь уравнениями (1), можно определить напряжения

$$\tau_1 = S_0(C_1 + 2C_2)/6, \tau_2 = -S_0(C_1 + 2C_2)/6 \quad (15)$$

и соответствующие им деформации сдвига

$$\gamma_1 = \tau_1(\Phi_m - 2\Phi_d C_1/3), \gamma_2 = \tau_2(\Phi_m - 2\Phi_d C_2/3), \quad (16)$$

тогда числитель и знаменатель в (14) приводятся к виду

$$\Delta A = \Phi_d S_0^2 (2C_1 + C_2)(C_1 + 2C_2)(C_1 - C_2)/54; \quad (17)$$

$$A_\tau = \tau_2 \gamma_2 / 2 = (3\Phi_m - 2\Phi_d C_2)(2C_1 + C_2)^2. \quad (18)$$

Соотношение (5) для тангенса фазы подобия девиаторов тоже можно привести к виду, аналогичному (14). Действительно, вводя обозначения $\cos \theta = C_1/2$, $\sin \theta = (C_1 + 2C_2)/(2\sqrt{3})$ и используя соотношение (15), после несложных преобразований получаем

$$\operatorname{tg} \omega = \Delta A/A_\omega. \quad (19)$$

Числитель в этой формуле определяется соотношением (17), а знаменатель

$$A_\omega = [3\Phi_m - \Phi_d C_1 C_2 (C_1 + C_2)] S_0^2 / (6\sqrt{3}). \quad (20)$$

Причем отношение A_ω/A_τ зависит от угла θ . При $\theta = \pi/6$ оно принимает минимальное значение $\sqrt{3}$, а при $\theta = 0$ и $\theta = \pi/3$ достигает значения ≈ 2 , что отмечалось в работе [2] для отношения $\Delta\lambda/\operatorname{tg} \omega$.

При необходимости с той же целью можно ввести и третий показатель

$$\Delta\eta = \Delta A/A_0, \quad (21)$$

где $A_0 = (\tau_1 \gamma_1 + \tau_2 \gamma_2 + \tau_3 \gamma_3)/2$.

Поскольку по определению (5) $\operatorname{tg} \omega > 0$, то можно утверждать, что график зависимости $\lambda_\varepsilon - \lambda_\sigma$ в общем случае лежит ниже прямой $\lambda_\varepsilon = \lambda_\sigma$. Поведение этого графика в диапазоне $0 < \theta < \pi/3$ можно установить для частного случая в предположении, что

$$\sin \omega = \alpha \sin 3\theta, \quad \cos \omega = 1, \quad \alpha \ll 1. \quad (22)$$

Тогда из соотношений (3) и (4) для сдвиговых характеристик следует

$$\Phi_m = \Phi_\theta(1 - \alpha \cos 3\theta), \quad \Phi_d = \alpha \Phi_\theta, \quad (23)$$

т.е. допущение (22) делает их практически независимым от угла θ .

Так как показатели $\Delta\lambda$ и $\text{tg } \omega$ отличаются только множителем, можно провести анализ их зависимости от угла θ , используя соотношение (5). Поиск максимального значения этого соотношения дает

$$\text{tg } \omega_{\max} = -\cos 3\theta_0 / \sin 3\theta_0 \quad (24)$$

при $\cos 3\theta_0 = -2\Phi_d / (3\Phi_m)$, где угол θ_0 принимает значение $\gtrsim 30^\circ$.

Таким образом, фаза подобия девиаторов, а следовательно, и $\Delta\lambda$ графически представляют собой полуволну синусоиды, максимальное значение которой незначительно смещено за $\theta = \pi/6$.

Проведенный анализ дал возможность представить качественную картину поведения рассматриваемых показателей. Для количественной оценки необходимы числовые данные о характеристиках Φ_m и Φ_d , которые можно получить, привлекая для этого результаты испытаний при простых напряженных состояниях: растяжении, чистом сдвиге и сжатии или двухосном растяжении в виде зависимостей $S_0 - e_0$. Анализ податливостей в направлениях главных касательных напряжений B_i показал, что характеристики могут быть выражены через Φ_p , Φ_c и Φ_τ , которые представляют собой Φ_θ для частных напряженных состояний.

Действительно, при растяжении

$$B_3 = \gamma_3 / \tau_3 = 3e_0 / S_0 = \Phi_p, \quad (25)$$

где $\gamma_3 = e_1 - e_2 = 3e_0/2$, $\tau_3 = S_0/2$. При сжатии

$$B_1 = \gamma_1 / \tau_1 = 3e_0 / S_0 = \Phi_c, \quad (26)$$

где $\gamma_1 = e_2 - e_3 = 3e_0/2$, $\tau_1 = S_0/2$. При чистом сдвиге

$$B_2 = \gamma_2 / \tau_2 = 3e_0 / S_0 = \Phi_\tau, \quad (27)$$

где $\gamma_2 = e_3 - e_1 = -(2e_1 + e_2) \approx -\sqrt{3}e_0$, $\tau_2 = -S_0/\sqrt{3}$.

Найденные равенства позволяют найти в первом приближении характеристики в соответствии с их определениями (6) и (7)

$$\Phi_m = (\Phi_c + \Phi_\tau + \Phi_p) / 3; \quad (28)$$

$$\Phi_d = \{[(\Phi_c - \Phi_\tau)^2 + (\Phi_\tau - \Phi_p)^2 + (\Phi_p - \Phi_c)^2] / 8\}^{1/2}. \quad (29)$$

Существенное различие соотношений (6), (7) и (28), (29) состоит в том, что в первом случае все B_i относятся к одному и тому же трехосному напряженному состоянию, а во втором — к трем различным состояниям.

Податливость для любого θ можно выразить функцией

$$\Phi_{\theta} = a_1 + a_2\theta + a_3\theta^2, \quad (30)$$

где коэффициенты a_i находятся по данным для простых напряженных состояний:

$$a_1 = \Phi_p, \quad a_2 = 3(4\Phi_{\tau} - 3\Phi_p - \Phi_c)/\pi, \quad a_3 = 18(\Phi_p - 2\Phi_{\tau} + \Phi_c)/\pi^2. \quad (31)$$

Чтобы отразить зависимость характеристик от угла θ в следующих приближениях, используется соотношение (10), из которого следует

$$\Phi_m = [\Phi_{\theta}^2 - (2/3\Phi_d \sin 3\theta)^2]^{1/2} - 2/3\Phi_d \cos 3\theta, \quad (32)$$

где значения для Φ_d принимаются из первого приближения. При этом последующие значения уточняются по формуле

$$\Phi_d = \{3[(\Phi_m - \Phi_{\tau})^2 + (\Phi_m - \Phi_p)^2 + (\Phi_m - \Phi_c)^2]/8\}^{1/2}. \quad (33)$$

Ниже описана последовательность определения фазы подобия девиаторов и $\Delta\lambda$. Как уже отмечалось, исходными данными являются диаграммы $S_0 - e_0$, полученные по результатам простых испытаний. При отработке методики было найдено, что удобно, принимая во внимание (14) и (19), в качестве наиболее приемлемого аргумента для искомых величин принять смешанный инвариант $A = S_0 e_0 / 2$ [7]. Диаграммы $S_0 - e_0$ перестраиваются в графики зависимости $S_0 - A$ и $e_0 - A$. Затем для каждого фиксированного значения A_j ($j = 15 \dots 20$) по этим графикам уточняются значения S_0 и e_0 , по которым вычисляются податливости Φ_p , Φ_c и Φ_{τ} .

С использованием соотношений (30) и (31) определяется податливость Φ_{θ} , позволяющая провести численный анализ зависимости характеристик Φ_m и Φ_d и показателей $\Delta\lambda$, $\text{tg } \omega$, $\Delta\eta$, а также A_{τ} и ΔA от вида напряженного состояния в пределах $0 \geq \theta \geq \pi/3$. Уже отмечалось, что характеристики Φ_m и Φ_d вычисляются методом последовательных приближений. При 2–3 итерациях они сходятся к значениям, отличающихся от предыдущих в пределах пяти процентов. Такая процедура проводится для каждого A_i .

Описанная методика была апробирована на диаграммах $S_0 - e_0$ для алюминиевого сплава 24S-T4, экспериментальные сведения о котором можно найти в работе [8]. По результатам расчетов были построены графики зависимости исследуемых величин как от A , так и угла θ . На рис. 1 верхние два представляют собой зависимости $S_0 - A$ для сжатия и для растяжения (кривые 1 и 2 соответственно). Кривые 3, 4 и 6 — это зависимости Φ_p , Φ_c и Φ_d , а 7 и 5 — соответствуют $\text{tg } \omega$ и $\Delta\lambda$. Характеристика Φ_m не представлена, но она находится между кривыми для Φ_p и Φ_c .

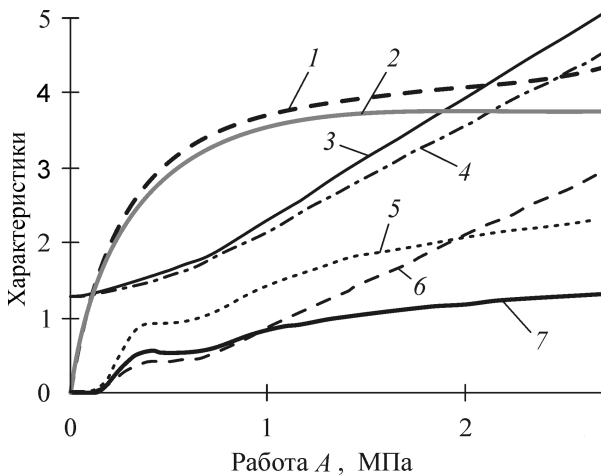


Рис. 1. Диаграммы $S_0 - A$ для сплава 24S-T4 при сжатии (1) и растяжении (2) (S_0 с множителем 10^{-2}), изменение Φ_p (3), Φ_c (4), характеристики Φ_d (6) и показателей нелинейности $\Delta\lambda$ и $tg\omega$ (кривые 5 и 7) в зависимости от A (податливости Φ_p , Φ_c с множителем 10^4 , $\delta\lambda$ и $tg\omega$ с коэффициентом 40)

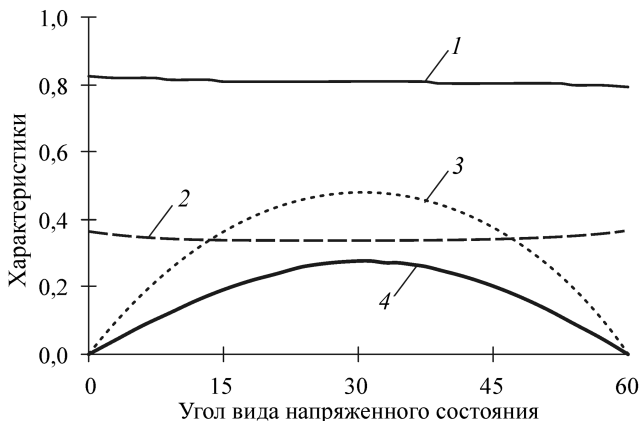


Рис. 2. Зависимости характеристик Φ_m (1), Φ_d (2), $\Delta\lambda$ (3) и $tg\omega$ (4) от вида напряженного состояния для сплава 24S-T4 (коэффициенты соответствуют рис. 1)

Численный анализ зависимости основных величин от вида напряженного состояния иллюстрирует рис. 2, где кривые 1, 2, 4, 3 соответствуют характеристикам Φ_m , Φ_d , $tg\omega$ и $\Delta\lambda$ соответственно. Максимальные значения этих величин находятся примерно при одном и том же напряженном состоянии, определяемом углом θ_0 . Данный материал проявляет весьма малую тензорную нелинейность ($tg\omega_{max} \approx 0,023$), поэтому угол θ_0 незначительно отличается от $\pi/6$. Анализ, проведенный выше на основе допущений (22), согласуется с результатами, представленными на рис. 2.

На рис. 3 кривые $S_0 - A$ характеризуют поведение стали 20 (использованы данные, приведенные в работе [9]). График 1 относится к испытанию на растяжение ($\lambda_\sigma = -1$, усредненная диаграмма для

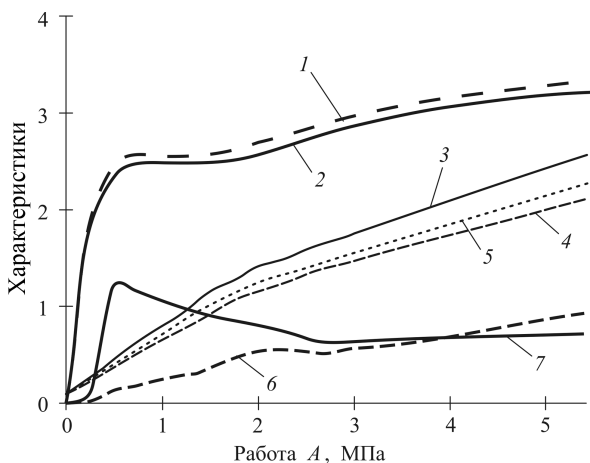


Рис. 3. Диаграммы $S_0 - A$ для стали 20 при растяжении и чистом сдвиге (кривые 1 и 2, S_0 с коэффициентом 10^{-2}), графики Φ_τ , Φ_p , Φ_m , Φ_d и $\text{tg}\omega$ в зависимости от A — кривые 3, 4, 5, 6, 7 соответственно (Φ_τ , Φ_p , Φ_m с коэффициентом $7,5 \cdot 10^3$, Φ_d с коэффициентом $1,6 \cdot 10^4$ и $\text{tg}\omega$ с коэффициентом 10);

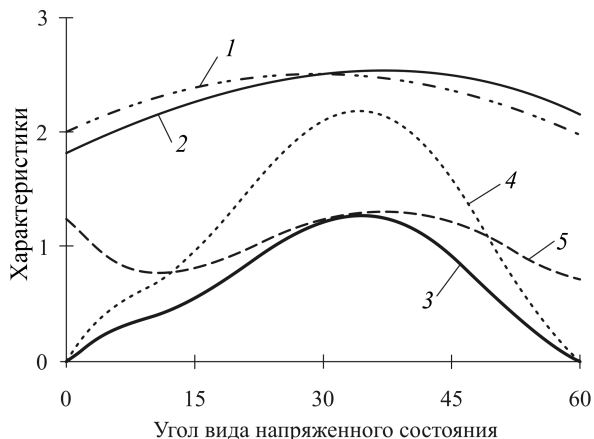


Рис. 4. Зависимости характеристик Φ_θ , Φ_m (1, 2), $\text{tg}\omega$, $\Delta\lambda$ и Φ_d (кривые 3, 4 и 5 соответственно) от вида напряженного состояния

образцов № 5 и 7), а график 2 — к чистому сдвигу ($\lambda_\sigma = 0$). Здесь принято допущение [10], состоящее в том, что диаграммы $S_0 - e_0$ не зависят от знака λ_σ . Поэтому вычисления проводились при условии $\Phi_p = \Phi_c$.

Податливости Φ_τ и Φ_p (кривые 3 и 4) плавно возрастают с ростом аргумента. Так же ведет себя характеристика Φ_m (кривая 5). Кривая 6 представляет характеристику Φ_d , а 7 — показатель $\text{tg}\omega$, которым сталь 20 заметно отличается от сплава 24S-T4 как по форме графика, так и более высокими (в пять раз) значениями.

Зависимость характеристик и параметров от вида напряженного состояния при постоянном значении $A = 1,75$ МПа для рассматриваемого материала представлена графиками на рис. 4. Кривая 1 (Φ_θ показывает, что аппроксимация этой величины многочленом второй

степени, является вполне удовлетворительной. Аналогично ведет себя и характеристика Φ_m (кривая 2). Нижняя кривая 3, соответствующая $\operatorname{tg} \omega$, по форме практически подобна кривой 4 для $\Delta\lambda$.

Максимальные значения этих показателей смещены вправо от $\theta = \pi/6$, в наибольшей степени — максимум характеристики Φ_d (кривая 5).

Таким образом, проведенные исследования позволили установить взаимосвязь между показателями тензорной нелинейности, выявить новую интерпретацию их сущности как величин, представляющих отношение работ напряжений на деформациях. Кроме того, из соотношений (14) и (19) следует, что любая нелинейность в процессе формоизменения должна сопровождаться нарушением подобия девиаторов напряжений и деформаций. Этот вывод расширяет представление о процессе деформирования материалов с изотропными свойствами. Описанная методика восстановления сдвиговых характеристик Φ_m и Φ_d дает возможность изучить нелинейные свойства конкретных материалов по результатам испытаний при простых напряженных состояниях, представленных в виде диаграмм $S_0 - e_0$. Методика предполагает независимость этих диаграмм от σ_0 , т.е. от гидростатического сжатия. Это предположение оправдано для многих металлов и сплавов со стабильными свойствами.

СПИСОК ЛИТЕРАТУРЫ

1. Новожилов В. В. О связи между напряжениями и деформациями в нелинейно-упругой среде // ППМ. – 1951. – Т. XV, вып. 2. – С. 183–194.
2. Комков К. Ф. К определению параметров Лоде при обработке результатов испытаний // Изв. РАН. МТТ. – 2005. – № 2. – С. 126–135.
3. Комков К. Ф. Об использовании тензорно-нелинейных уравнений для анализа поведения пластических сред // Вестник МГТУ им. Н.Э. Баумана. Сер. “Машиностроение”. – 2007. – № 1. – С. 164–172.
4. Комков К. Ф. Об уравнениях связи деформаций с напряжениями для материалов, оказывающих различное сопротивление растяжению и сжатию // Изв. вузов. Сер. “Машиностроение”. – 1989. – № 7. – С. 3–6.
5. Лоде В. Влияние среднего главного напряжения на текучесть металлов // Теория пластичности. – М.: ИЛ, 1948. – С. 336–374.
6. Филин А. П. Прикладная механика твердого деформируемого тела. – М.: Наука, 1978. – 616 с.
7. Новожилов В. В. Теория упругости. – Л.: Судпромгиз, 1958. – 370 с.
8. Надаи А. Пластичность и разрушение твердых тел. – М.: ИЛ, 1969. – Т. II. – 863 с.
9. Жуков А. М. Пластические деформации стали при сложном нагружении // Изв. АН СССР. – ОТН. – 1954. – № 11. – С. 53–61.
10. Янг Ю. И., Митрохин Н. М. О систематическом отклонении от законов пластичности // ДАН СССР. – 1960. – Т. 135, – № 4. – С. 796–799.

Статья поступила в редакцию 29.05.2007